

## 多柱式基礎の立体振動

大阪市立大学  
大阪工業大学  
近畿地方建設局  
大阪設計コンサルタントKK

正員 倉田宗章  
正員 四村宏一  
正員 多田浩彦  
正員 進藤泰男

1) まえがき さきに、本州四国連絡橋下部工の一形式として立案されている多柱式基礎の平面内の振動について報告した。この基礎は図-1に概要を示すように、大口径の鋼製 Cylinder を沈下根入れさせて、支持層に到達させ、頂部を剛りは頂板で連結する大規模なものである。特にこの構造は施工上の制約のため水深の大きさなどにより並立して Cylinder によって構成されており、海底地盤の傾斜や、地震の作用方向等を考慮すれば、ねじれ振動をも含めた立体振動についても構造上安全であるかどうかについて検討しておかなければならぬ。本文ではこの基礎について、任意方向の地震力を受ける場合の立体構造としての並進、ロッキング、ねじりの剛体系振動と柱の弾性振動を連成させる解析法を述べ、又本州四国連絡橋下部工として計画中の1基礎について計算例を提示する。

2) 基本仮定 頂板は剛体、柱及び地盤は弾性体と見做し、各柱は等脚、剛度一定とし、若干の lumped mass に、頂板は single-mass に分割し、地盤も集中バネで置換する。地震作用方向は図-2に示すように任意角θで定義された S 軸で、直角方向は T 軸で表わす。この系の振動は構造全体の剛体としての並進運動、回転運動及び、ねじれ振動と柱の構造要素としての弾性振動、以上4つの連成されるものである。

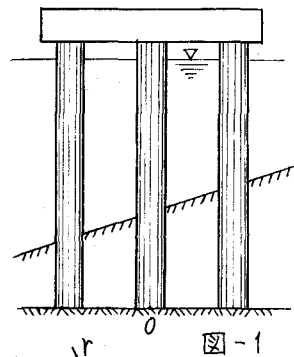


図-1

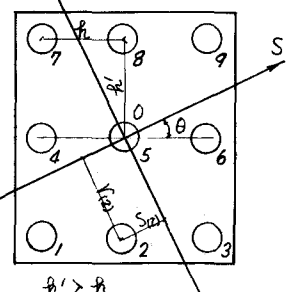


図-2

### 3) 水平運動方程式 式は便宜的に柱部分と頂板部分にわけて考える。

3-1) lumped mass について 立体振動であるため変位は S, T 2 方向へ発生する。図-3 は S 方向の変形を示している。①-②線は柱の静止位置、①-③線は地動  $u_0$  の並進位置、②-④線は柱頭部の拘束曲げによる弾性変形位置、③-⑤はせん断変形とねじりによる S 方向変形の和である。T 方向については、 $u_0 \rightarrow 0$ ,  $\varphi_k u_s \rightarrow \varphi_k u_r$ ,  $u_k \rightarrow \zeta_k$  とおきかえればよい。

さて 1 番柱の lumped mass  $m_k$  の S, T 方向の水平変位は

$$\begin{aligned} \bar{u}_k &= u_k + \varphi_k u_s + u_0 = \zeta_k + u_0 \\ u_k &= u_k + \varphi_k u_r = \zeta_k \end{aligned} \quad \left. \right\} \quad (1)$$

ここで  $\zeta_k$ ,  $\zeta_k$  は復元の S 及び T 方向の全弾性変位量を示す。(図参照)

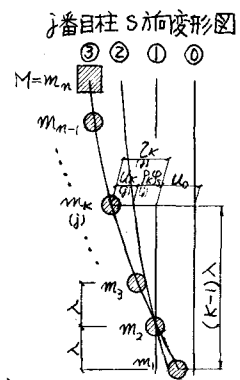


図-3

柱の水平運動方程式は減衰力を考慮して次のように書かれる。

$$S\text{方向: } m_k \left( \ddot{u}_k + \dot{\varphi}_s p_k \right) + \sum_{j=1}^m p_{sj}^{sk} u_j + p_{en}^{sk} w + C_k \left( \dot{u}_k + \dot{\varphi}_r p_k \right) = -m_k \ddot{u}_0 \quad (2)$$

$$T\text{方向: } m_k \left( \ddot{v}_k + \dot{\varphi}_r p_k \right) + \sum_{j=1}^m p_{ri}^{tk} v_j + p_{en}^{tk} w + C_k \left( \dot{v}_k + \dot{\varphi}_r p_k \right) = 0 \quad (3)$$

$$(j=1, 2, \dots, q), \quad (k=1, 2, \dots, n-1)$$

たゞし  $w$ : 頂板におけるねじれ回転角,  $C_k = \mu \frac{m_k}{q_j}$ ; 減衰係数 ( $\mu$ ) は柱番号を示す。

$p_{sj}^{sk} = p_{ri}^{tk}$  (4) (円柱のため): 木平せん断力影響係数で 図-4 の如く lumped mass

の位置に支点を設けて連続梁を考え、レギュラの  $m$  が 単位変位すると他の支点に

生ずる反力を求めれば、これが  $p_{sj}^{sk}$  である。ほむ地中の  $m$  については更に  $\omega$  を加え

る必要がある。 $p_{en}^{sk}, p_{en}^{tk}$ : 頂板が単位ねじれ角とその反力を、図-5 を参照し

て容易に次の関係が求まる。 $p_{en}^{sk} = p_{en}^{tk} r$ ,  $p_{en}^{tk} = -p_{en}^{sk} s = -p_{en}^{sk} S$  — (5)

$p_k$ : 図-4 の系の頭部に曲げを加えさせ、各  $m$  点の変位を頭部の回転角  $\theta$  で表わせば、その係数として計算される。

3-2) 頂板について 頂板は剛体で質量は  $M$  である。よって各柱の変位は頂板の位置  $r$  においてすべて等しい。たゞしねじれ変位は各柱頭で異なるので頂板ではねじれ振動は別の系として扱う。

$$M(\ddot{u}_n + \dot{\varphi}_s p_n) + \sum_{j=1}^q \sum_{i=1}^m p_{sj}^{sn} u_i + C_n(\dot{u}_n + \dot{\varphi}_s p_n) = -M \ddot{u}_0 \quad (6)$$

$$M(\ddot{v}_n + \dot{\varphi}_r p_n) + \sum_{j=1}^q \sum_{i=1}^m p_{ri}^{tn} v_i + C_n(\dot{v}_n + \dot{\varphi}_r p_n) = 0 \quad (7)$$

$$I \ddot{\omega} + \sum_{j=1}^q \sum_{i=1}^{m-1} (p_{sj}^{sn} u_i + p_{ri}^{tn} v_i) + p_{en}^{tn} w + \bar{C} \dot{\omega} = 0 \quad (8)$$

たゞし、 $I$ : 頂板の垂直重心軸に関する慣性モーメント =  $M \frac{h^2 + h'^2}{3}$  ( $h, h'$  は図-2 参照)

$C_n = \mu M$ ,  $\bar{C} = \mu I$ ;  $m$  点のせん断減衰係数  $\beta$  はねじれ減衰定数

相反作用の定理から  $p_{en}^{sn} = p_{en}^{tk}$ ,  $p_{ri}^{tn} = p_{en}^{tk}$  — (9)

更に図-5より  $p_{en}^{tn} = \sum_{j=1}^q [p_{en}^{sk} r^2 + p_{en}^{tk} S^2]$  — (10)

4) 回転運動方程式 構造下端に原点を持つ  $S$  軸,  $T$  軸まわりの

モーメント釣合から、 $q$  本分の柱を考えて次式が成立つ。

$$S\text{方向: } \sum_{j=1}^q \sum_{i=1}^m u_i \sum_{k=1}^m p_{sj}^{sk} (k-1) \lambda + \omega \sum_{j=1}^q \sum_{k=1}^m p_{en}^{sk} (k-1) \lambda - \bar{C}_s \dot{\varphi}_s - M q_s - \sum_{j=1}^q M u = 0 \quad (11)$$

$$T\text{方向: } \sum_{j=1}^q \sum_{i=1}^m v_i \sum_{k=1}^m p_{ri}^{tk} (k-1) \lambda + \omega \sum_{j=1}^q \sum_{k=1}^m p_{en}^{tk} (k-1) \lambda - \bar{C}_r \dot{\varphi}_r - M q_r - \sum_{j=1}^q M v = 0 \quad (12)$$

式中,  $\bar{C}_s = \mu I_s$ ,  $\bar{C}_r = \mu I_r$ ;  $S$  及び  $T$  方向の回転減衰定数,  $M q_s, M q_r$  はそれぞれ各柱の鉛直反力による  $T$  軸,  $S$  軸まわりの復元モーメントで、図-1 より柱配置の対称性を考慮すれば  $\theta$  にかかる

$$M q_s = q_s \left[ 2 p_e \left\{ S_{(3)}^2 + S_{(6)}^2 + S_{(8)}^2 + S_{(9)}^2 \right\} \right] + q_r \left[ 2 p_e \left\{ S_{(3)} N_{(3)} + S_{(6)} N_{(6)} + S_{(8)} N_{(8)} + S_{(9)} N_{(9)} \right\} \right] \quad (13)$$

$$M q_r = q_r \left[ 2 p_e \left\{ S_{(4)} N_{(4)} + S_{(7)} N_{(7)} + S_{(8)} N_{(8)} + S_{(9)} N_{(9)} \right\} \right] + q_r \left[ 2 p_e \left\{ N_{(4)}^2 + N_{(7)}^2 + N_{(8)}^2 + N_{(9)}^2 \right\} \right] \quad (14)$$

と表わされる。ここで  $p_e$ : 鉛直バネ係数,  $S_{(j)}, N_{(j)}$ :  $j$  番柱から  $S, T$  両軸までの距離 (図-1 参照)

さらにより (11), (12) 式中の  $\sum_{j=1}^q M u$ ,  $\sum_{j=1}^q M v$  は地中音  $j$  柱に働く全水平反力による  $S, T$  方向の復元モーメントで地中音  $j$  の  $m$  本数を  $N_j$  とすれば、次式で表わされる。

$$\sum_{j=1}^q M u = \sum_{j=1}^q \sum_{i=1}^m p_{sj}^{sk} Z_i (i-1) \lambda, \quad \sum_{j=1}^q M v = \sum_{j=1}^q \sum_{i=1}^m p_{ri}^{tk} Z_i (i-1) \lambda \quad (15)$$

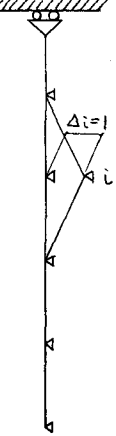


図-4

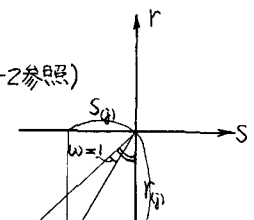


図-5

以上の(2),(3),(6),(7),(8),(11),(12)を連立微分方程式として解けばよい。本文においては弾性振動式は modal analysis を行い、さらに回転運動方程式と共に差分化して、1次式について演算を行って。次にその解法の概略を記す。

**5) 解法:** (2)(3)式に(1)(4)(5)を代入し、(6),(7),(8)に(1),(9)を代入し、(11),(12)に(1)(13)(14)(15)を代入して整理すれば次式のようになる。

$$M_K \ddot{\zeta}_K + \sum_{i=1}^n p_{SK}^{Si} \zeta_i + p_{SK}^{Si} r \omega + C_K \dot{\zeta}_K = -m_K \ddot{u}_0 + q_s \sum_{i=1}^n p_{SK}^{Si} p_i \quad (2)'$$

$$M_K \ddot{\zeta}_K + \sum_{i=1}^n p_{SK}^{Si} \zeta_i - p_{SK}^{Si} S \omega + C_K \dot{\zeta}_K = + q_r \sum_{i=1}^n p_{SK}^{Si} p_i \quad (3)'$$

$$(j=1, 2, 3, \dots, n), (k=1, 2, 3, \dots, n-1)$$

$$M_L \ddot{\zeta}_L + \sum_{j=1}^q \sum_{i=1}^n p_{SL}^{Si} \zeta_i + C_n \dot{\zeta}_n = -M \ddot{u}_0 + q_s \sum_{j=1}^q \sum_{i=1}^n p_{SL}^{Si} p_i \quad (6)'$$

$$M_L \ddot{\zeta}_L + \sum_{j=1}^q \sum_{i=1}^n p_{SL}^{Si} \zeta_i + C_n \dot{\zeta}_n = + q_r \sum_{j=1}^q \sum_{i=1}^n p_{SL}^{Si} p_i \quad (7)'$$

$$I \ddot{\omega} + \sum_{j=1}^q \sum_{i=1}^n p_{SL}^{Si} r \zeta_i - \sum_{j=1}^q \sum_{i=1}^n p_{SL}^{Si} S \zeta_i + p_{SL}^{Si} \omega - \bar{C} \dot{\omega} = q_s \sum_{j=1}^q \sum_{i=1}^n p_{SL}^{Si} p_i r - q_r \sum_{j=1}^q \sum_{i=1}^n p_{SL}^{Si} p_i S \quad (8)'$$

$$\sum_{j=1}^q \sum_{i=1}^n \zeta_i \sum_{k=1}^n p_{SK}^{Si} (k-1) \lambda + \omega \sum_{j=1}^q \sum_{k=1}^n p_{SK}^{Si} r (k-1) \lambda - \bar{C}_p q_s - S q_s - R q_r - \sum_{j=1}^q \sum_{i=1}^n p_{SK}^{Si} \zeta_i (i-1) \lambda \\ = q_s \sum_{j=1}^q \sum_{i=1}^n p_i \sum_{k=1}^n p_{SK}^{Si} (k-1) \lambda \quad (11)'$$

$$\sum_{j=1}^q \sum_{i=1}^n p_i \sum_{k=1}^n p_{SK}^{Si} (k-1) \lambda - \omega \sum_{j=1}^q \sum_{k=1}^n p_{SK}^{Si} S (k-1) \lambda - \bar{C}_p q_r - S q_s - R q_r - \sum_{j=1}^q \sum_{i=1}^n p_i \zeta_i (i-1) \lambda \\ = q_r \sum_{j=1}^q \sum_{i=1}^n p_i \sum_{k=1}^n p_{SK}^{Si} (k-1) \lambda \quad (12)'$$

上式中(2)'(3)'(6)'(7)'(8)'は構造物の弾性振動力を表わしているので、基準振動力に分解して取扱う。これらの式を Matrix 表示すれば

$$M \ddot{\mathbf{Z}} + P \dot{\mathbf{Z}} + G \mathbf{Z} = -M \ddot{\mathbf{X}} + P \dot{\mathbf{P}} \bar{P} \quad (16) \text{ となる。}$$

上式中  $M, P, G, \bar{P}$  は行列、 $\ddot{\mathbf{Z}}, \dot{\mathbf{Z}}, \mathbf{Z}, \ddot{\mathbf{X}}, \dot{\mathbf{X}}, \bar{P}$  は列ベクトル(各要素は紙面の都合により省略) (16)式の自由振動方程式は  $|P - \rho^2 M| = 0$  (17) はる行列式となり、これを解いて  $P_j^2 (j=1, 2, 3, \dots, (6n-5))$  は3 固有値(自由振動数)とそれに対応する modal matrix  $\bar{P} = [e_{ij}]$  が求まる。いま  $\mathbf{Z} = \bar{P} \mathbf{Z}'$  (18) はる新たな座標系を考え、(16)式に代入し直交性の条件を用いて整理すれば(16)は結局次式のような 1 自由度の微分方程式となる。

$$\ddot{\mathbf{Z}}' + A \dot{\mathbf{Z}}' + \nu \ddot{\mathbf{Z}}' = -\bar{P}' M \ddot{\mathbf{X}} + \bar{P}' P \dot{\mathbf{P}} \bar{P} \quad (18)'$$

上式中  $A$ :  $P_j^2$  を要素とする diagonal matrix,  $\bar{P}'$ :  $\bar{P}$  の転置行列、(18)及び(11)'(12)'中の時間に沿う微分項をさらに差分化して、整理すると次の一次式を得る。

$$\text{変位式 } \ddot{\mathbf{Z}}_{n+1} = \frac{2 + \nu \Delta t - (P_j \Delta t)^2}{1 + \nu \Delta t} \ddot{\mathbf{Z}}_n - \frac{1}{1 + \nu \Delta t} \ddot{\mathbf{Z}}_{n-1} + \frac{(\Delta t)^2}{1 + \nu \Delta t} (q_s \gamma_j + q_r \bar{\gamma}_j - u_0 \alpha_j) \quad (19)$$

$$\text{上式中 } \alpha_j = \sum_{i=1}^{q(n-1)+1} e_{ij} m_i, \gamma_j = \sum_{i=1}^{q(n-1)+1} e_{ij} \beta_i + e_{3(6n-5), j} \beta_{3(6n-5)}, \bar{\gamma}_j = \sum_{i=q(n-1)+2}^{18(n-1)+2} e_{ij} \beta_i + e_{3(6n-5), j} \bar{\beta}_{3(6n-5)} \quad (20)$$

$$\beta_i = \sum_{k=1}^{3(6n-5)} p_{SK}^{Si} p_k, \beta_{3(6n-5)} = \sum_{j=1}^{3(6n-5)} p_{S, j}^{Si} p_j, \bar{\beta}_{3(6n-5)} = \sum_{j=q(n-1)+2}^{3(6n-5)} p_{S, j}^{Si} p_j$$

(19)の  $\ddot{\mathbf{Z}}_{n+1}$  の suffix  $(n+1)$  は時刻を示す。 $\nu = 2 \nu p_i$  かつ  $\nu = 0.05$  (減衰率)

初期値直接続問題として(19),(20)から  $\sum_{n+1}^m$  が求めれば、各算定の S 及び T 方向変位及びねじれ角は(18)より

$$Z_{n+1} = Z_{j+1} = \sum_{r=1}^m e_{sr} Z_r \quad \{ S = (j-1)(n-1) + i \leq qn - 8 \}$$

$$C_S = C_{j+1} = \sum_{r=1}^m e_{sr} Z_r \quad \{ S = qn - 8 + (j-1)(n-1) + i < 3(6n-5) \}, \quad W_{n+1} = \sum_{r=1}^m e_{sr} Z_r \quad \{ S = 3(6n-5) \} \quad (21)$$

(21)式から、各々の弾性変位が求めれば、次式に代入して、S 及び T 方向の剛体回転角が計算される。

S 方向  $\varphi_S = \frac{\Delta t}{C_S} \sum_{j=1}^q \sum_{i=1}^{n-1} \left[ \sum_{k=1}^{m-1} p_{Sik}^{SK}(k-1) \lambda - (1-H_j) p_{Sik}^{(j-1)} \lambda \right] Z_i + q \frac{\Delta t}{C_S} p_{Sm}^{Sk}(m-1) \lambda \varphi_S + W_m \frac{\Delta t}{C_S} \sum_{j=1}^q \sum_{i=1}^{n-1} p_{Sik}^{Sk}(k-1) \lambda - \left[ \frac{\Delta t}{C_S} \sum_{j=1}^q \sum_{i=1}^{n-1} p_{Sik}^{Sk}(k-1) \lambda + q \frac{\Delta t}{C_S} p_{Sm}^{Sk}(m-1) \lambda + \frac{\Delta t}{C_S} S - 1 \right] \varphi_S - \frac{\Delta t}{C_S} R' \varphi_R \quad (22)$

T 方向  $\varphi_R = \frac{\Delta t}{C_R} \sum_{j=1}^q \sum_{i=1}^{n-1} \left[ \sum_{k=1}^{m-1} p_{Rik}^{RK}(k-1) \lambda - (1-H_j) p_{Rik}^{(j-1)} \lambda \right] Z_i + q \frac{\Delta t}{C_R} p_{Rm}^{Rm}(m-1) \lambda \varphi_R - W_m \frac{\Delta t}{C_R} \sum_{j=1}^q \sum_{i=1}^{n-1} p_{Rik}^{RK}(k-1) \lambda - \left[ \frac{\Delta t}{C_R} \sum_{j=1}^q \sum_{i=1}^{n-1} p_{Rik}^{RK}(k-1) \lambda + q \frac{\Delta t}{C_R} p_{Rm}^{Rm}(m-1) \lambda + \frac{\Delta t}{C_R} R - 1 \right] \varphi_R - \frac{\Delta t}{C_R} S' \varphi_S \quad (23)$

式中  $H_j = \begin{cases} 0; & 0 \leq j \leq j \\ 1; & j < j \leq n \end{cases}, \quad S = 2 p_e \{ S_{(3)}^2 + S_{(6)}^2 + S_{(9)}^2 \}, \quad S' = 2 p_e \{ S_{(4)} V_{(4)} + S_{(7)} V_{(7)} + S_{(8)} V_{(8)} + S_{(9)} V_{(9)} \}$

$R = 2 p_e \{ R_{(4)}^2 + R_{(6)}^2 + R_{(8)}^2 + R_{(9)}^2 \}, \quad R' = 2 p_e \{ S_{(3)} V_{(3)} + S_{(6)} V_{(6)} + S_{(8)} V_{(8)} + S_{(9)} V_{(9)} \}; (13), (14) の \varphi_S, \varphi_R の係数である。$

## 6) 計算例：9本柱、39自由度系にて行つた角平均結果を示す。

モデル諸元：図-6に示す。なお海底地盤の傾斜はバネ係数の比によって表わした。柱の EI =  $1.29154 \times 10^{16} \text{ kg} \cdot \text{cm}^2$ , 土のボアソン比  $\nu = 0.25$

土のヤング率  $E = 4.5 \times 10^3 \text{ kg/cm}^2$

バネ係数：  
 $\begin{array}{ll} p_{e1} = p_{e2} = p_{e3} = 2.376038 \times 10^7 \text{ kg/cm} & p_{e2} = p_{e3} = 1.101563 \times 10^7 \\ (1) & (2) \\ (2) & (3) \\ (4) & p_{e4} = p_{e5} = 1.5x & p_{e2} = p_{e3} = 1.5x \\ (5) & (6) & (7) \\ (7) & p_{e4} = p_{e5} = p_{e6} = 2.0x & p_{e2} = p_{e3} = 2.0x \\ (8) & (9) & (9) \end{array}$

質量  $m_i$ ；質量は各柱とも一定である。

$$m_1 = 1.255666 \times 10^4 \text{ kg/sec}^2, m_2 = 1.330825 \times 10^4, m_3 = 1.1793417 \times 10^5$$

地震波：作用方向は図-6に示す。作用地震波は ELCENTRO-NS

$$300 \text{ gal}, \text{作用時間 } 6 \text{ sec}, \text{時間間隔 } \Delta t = 1/200 \text{ sec}, \text{減衰率 } \nu = 0.05$$

## 7) 計算結果 電算結果より応答変位を図-7に示す。

8) 考察 ねじれ振動を考慮した場合としない場合を比較して、変位量、周期等には大きな差はないが、ねじれ角も本例では小さな差がある。引き続き地動方向を変え、自由度を上げて検討中である。

